

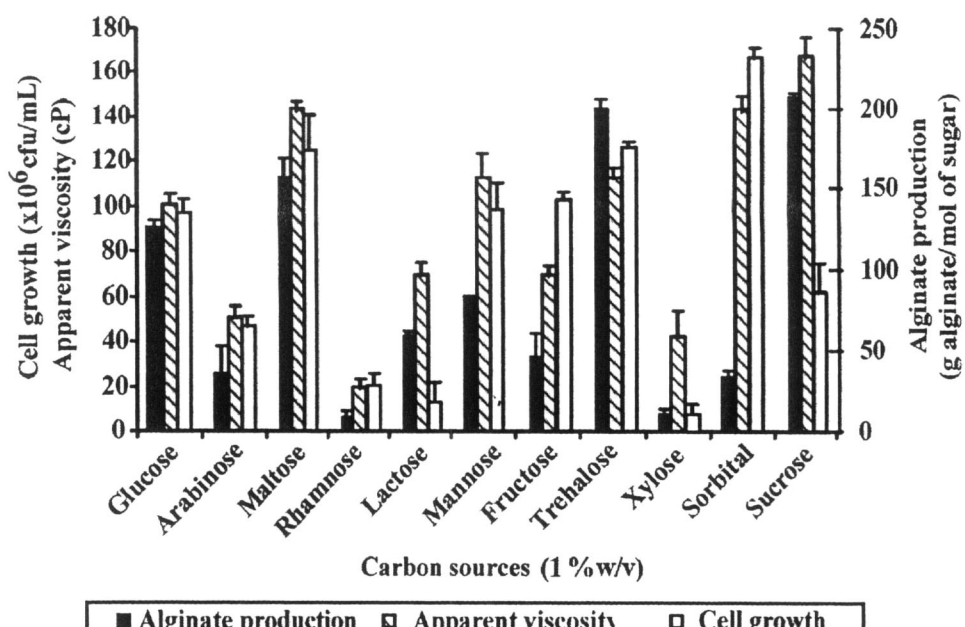
### บทที่ 3

#### ผลการทดลองและวิจารณ์ผลการทดลอง

##### 3.1 สรุปภาวะของการผลิตอัลจิเนทด้วยเชื้อ *Azotobacter vinelandii* ในระดับพลาสติก

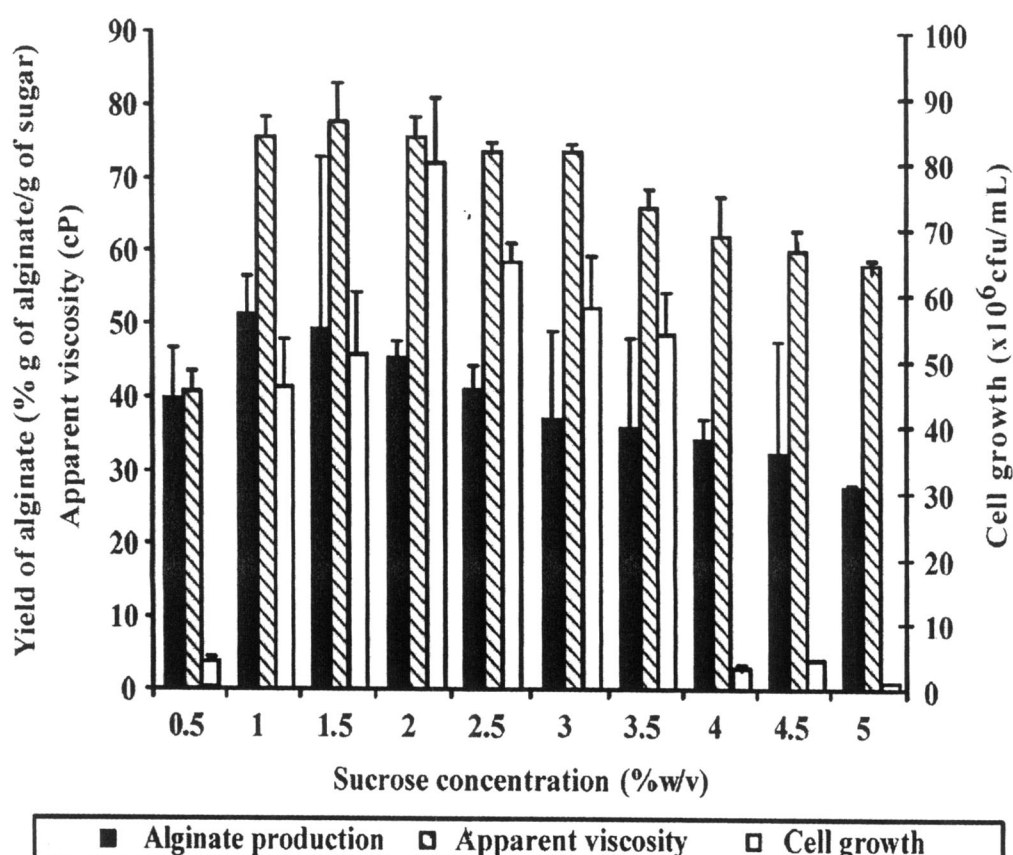
###### 3.1.1 แหล่งอาหารคาร์บอน และความเข้มข้น

การเจริญของเชื้อและการผลิต EPS โดยปกติจะขึ้นอยู่กับแหล่งอาหารcarbonซึ่งจะส่งผลกระทบต่อคุณภาพ องค์ประกอบของน้ำตาล และ/หรือน้ำหนักโมเลกุลของ EPS (Wachenheim และ Patterson, 1992) แหล่งอาหารcarbonที่ใช้ในการศึกษาคือ กลูโคส, อารabinอส, แมนโนส, แลคโตส, มอลโตส, แมนโนส, ฟรุกโตส, ทริชาโลส, ไซโลส, ชอลบิโทฟ และ ซูโครส ผลของแหล่งอาหารcarbonต่อการผลิตอัลจิเนท ความหนืด และการเจริญของเชื้อแบคทีเรียแสดงดังในรูปที่ 3.1 การใช้แหล่งอาหารcarbonที่ความเข้มข้น 1% ในการผลิตอัลจิเนทจากเชื้อ *Azotobacter vinelandii* พบว่า น้ำตาลที่ชาโลสและซูโครสให้ค่า ผลผลิตของอัลจิเนทที่ใกล้เคียงกันที่ 156.67 กรัมต่อมิล และ 206.67 กรัมต่อมิล ตามลำดับ โดยให้ค่าความหนืดที่ 110 และ 295 cP ตามลำดับ และให้ค่าการเจริญของเชื้ออูที่  $1.25 \times 10^8$  และ  $9.1 \times 10^7$  cfu/mL ที่เวลา 72 ชั่วโมง อุณหภูมิ  $30^\circ\text{C}$  อย่างไรก็ตามจากการทดลองนี้จะเลือกใช้ซูโครสในการทำการทดลอง เนื่องจากมีราคาถูกกว่าทริชาโลสและให้ผลผลิตของอัลจิเนทสูง



รูปที่ 3.1 ผลของแหล่งอาหารcarbonต่อการผลิตอัลจิเนท (alginic production) ความหนืดปรากฏ (apparent viscosity) และการเจริญของเชื้อ *Azotobacter vinelandii* (Cell growth) ในอาหาร LG โดยทำการเติมน้ำเชื้อที่ 1% ควบคุมค่า pH ที่ 6.8 อุณหภูมิ  $30^\circ\text{C}$  เป็นเวลา 72 ชม. โดยทำการเขย่าที่ 200 rpm

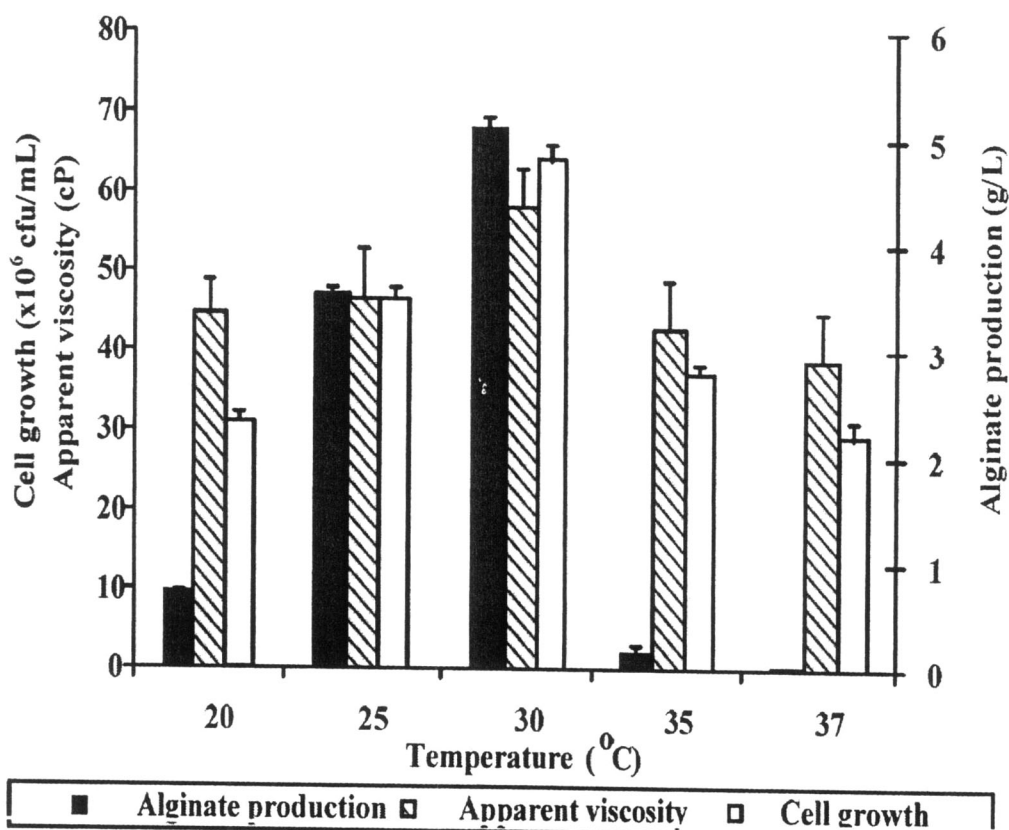
ความเข้มข้นของน้ำตาลซูโครஸที่เหมาะสมสำหรับการผลิตอัลจิเนทค่าวายเชื้อ *Azotobacter vinelandii* อยู่ที่ 1% w/v และถ้าใช้ความเข้มข้นของน้ำตาลที่สูงขึ้นจะทำให้การผลิตอัลจิเนಥลดลง ในรูปที่ 3.2 แสดงการเจริญของแบคทีเรียและความเข้มข้นของอัลจิเนทที่ผลิตได้ การเจริญและการผลิตอัลจิเนಥองแบคทีเรียจะเพิ่มขึ้น เมื่อทำการเพิ่มความเข้มข้นของซูโครஸที่ 1% w/v และเมื่อความเข้มข้นของน้ำตาลซูโครสมากกว่า 1% w/v จะพบว่าการผลิตอัลจิเนทและการเจริญของเชื้อ *Azotobacter vinelandii* จะลดลง จากการวิเคราะห์หาค่าความหนืดพบว่า การเลี้ยงเชื้อแบคทีเรียโดยใช้น้ำตาลซูโครஸเป็นแหล่งอาหารการรับอนุมัติทักษิภาพในการผลิตอัลจิเนท จากผลการทดลองพบว่า น้ำตาลซูโครஸที่ความเข้มข้นสูงจะมีผลบั้งบังการผลิตอัลจิเนท ซึ่งอาจเป็นผลมาจากการบังคับแรงดันออกไนโตริก และให้ผลการศึกษาเช่นเดียวกับ Prasertan และคณะ (2008) คือซูโครஸที่ความเข้มข้นสูงจะมีผลบั้งบังการเจริญของเชื้อ *Azotobacter vinelandii* และบั้งบังการผลิตอัลจิเนท ซึ่งผลของการบังบังนี้เป็นผลมาจากการแรงดันออกไนโตริกที่สูงเกินไป



รูปที่ 3.2 ผลความเข้มข้นของน้ำตาลซูโครஸที่มีต่อการผลิตอัลจิเนท (alginate production) ความหนืดปรากฏ (apparent viscosity) และการเจริญของเชื้อ *Azotobacter vinelandii* (cell growth) ในอาหาร LG โดยทำการเติมน้ำเชื้อที่ 1% ควบคุมค่า pH ที่ 6.8 อุณหภูมิ 30 °C เป็นเวลา 72 ชม. โดยทำการเขย่าที่ 200 rpm

### 3.1.2 อุณหภูมิ

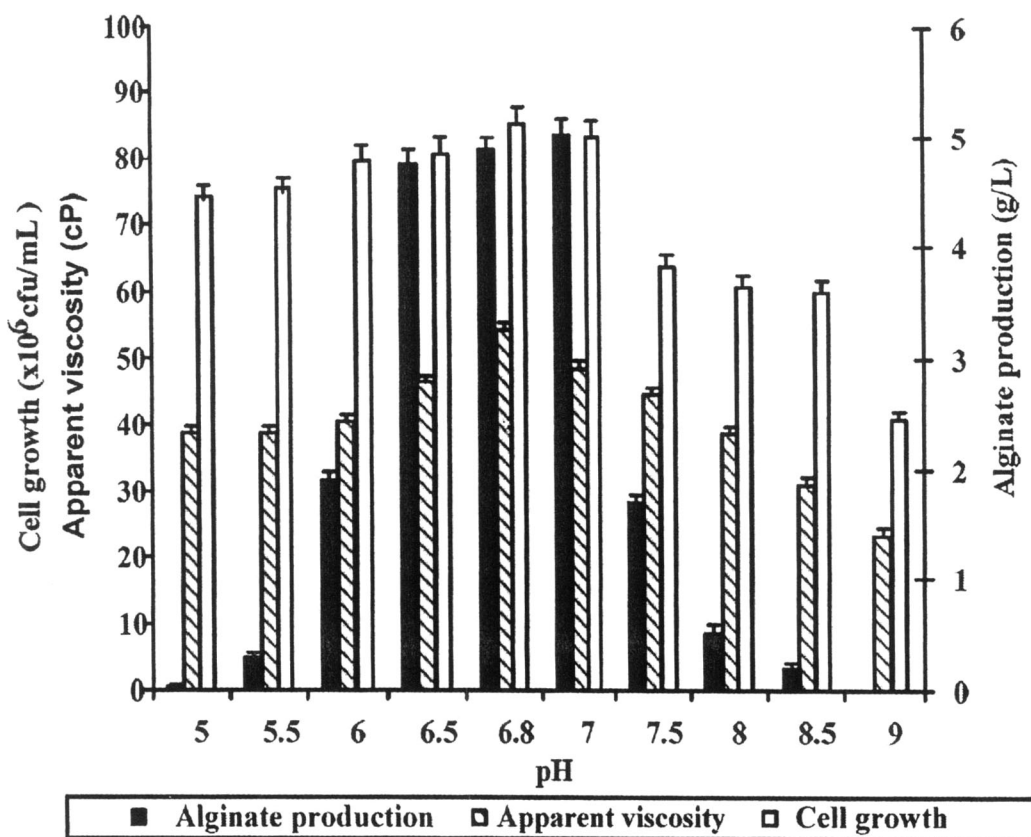
อุณหภูมิที่ใช้ในการบ่มมีผลอย่างยิ่งต่อการสังเคราะห์ทางชีวภาพของโพลีแซคคาไรด์ จุลินทรีย์ที่ใช้ในการผลิตโพลีแซคคาไรด์ในอุตสาหกรรมทั้งหมดจะอยู่ในกลุ่มของ mesophile (Lawson และ Sutherland, 1978) อุณหภูมิที่เหมาะสมสำหรับการผลิตโพลีแซคคาไรด์ขึ้นอยู่กับชนิดของเชื้อจุลินทรีย์ จะอยู่ในช่วง 25-30 °C ขณะที่อุณหภูมิที่เหมาะสมสำหรับการผลิตอัลจิเนทจะอยู่ที่ 30 °C ดังแสดงในรูปที่ 3.3 ซึ่งใกล้เคียงการแบคทีเรียสายพันธุ์อื่นๆ เช่น แบคทีเรียสายพันธุ์ *Pseudomonads* ที่เป็นแบคทีเรียที่ก่อโรคในพืชจะมีอุณหภูมิที่เหมาะสมสำหรับการเจริญที่ 28-30 °C (Fett และคณะ, 1986)



รูปที่ 3.3 ผลของอุณหภูมิต่อการผลิตอัลจิเนท (alginate production) ความหนืดปรากฏ (apparent viscosity) และการเจริญของเชื้อ *Azotobacter vinelandii* (cell growth) ในอาหาร LG โดยใช้น้ำตาลซูโคสความเข้มข้น 1% (w/v) เดินหัวเชื้อที่ 1% ควบคุมค่า pH ที่ 6.8 อุณหภูมิ 30 °C เป็นเวลา 72 ชม. โดยทำการเบี้ยที่ 200 rpm

### 3.1.3 ค่าความเป็นกรด-ด่างเริ่มต้น

จากผลการทดลองข้างต้น การเลือยเชื้อแบคทีเรียเพื่อใช้ในการผลิตอัลจิเนทให้ได้ผลผลิตสูง เมื่อทำการเลือยในอาหาร LG ที่มีซูโครัสเป็นแหล่งอาหารcarbonที่ความเข้มข้น 1% (w/v) ในการทดลองหาค่าความเป็นกรด-ด่าง เริ่มต้นที่เหมาะสมสำหรับการเจริญของเชื้อและการผลิตอัลจิเนท พบว่า ค่า ความเป็นกรด-ด่างเริ่มต้นที่เหมาะสมสำหรับการเจริญและการผลิตอัลจิเนಥอง เชื้อ *Azotobacter vinelandii* อยู่ในช่วง 6.5-7.0 ดังแสดงในรูปที่ 3.4 จากรายงานของ Pace (1981) พบว่า ค่า ความเป็นกรด-ด่าง จะมีผลต่อการผลิตอัลจิเนทมากกว่าการเจริญของเชื้อ และค่า ความเป็นกรด-ด่าง จำพวกจะมีผลโดยตรงกับการทำงาน酵นไซน์ต่างๆ ที่เกี่ยวข้องกับกระบวนการสังเคราะห์อัลจิเนท (Lawson และ Sutherland, 1978)

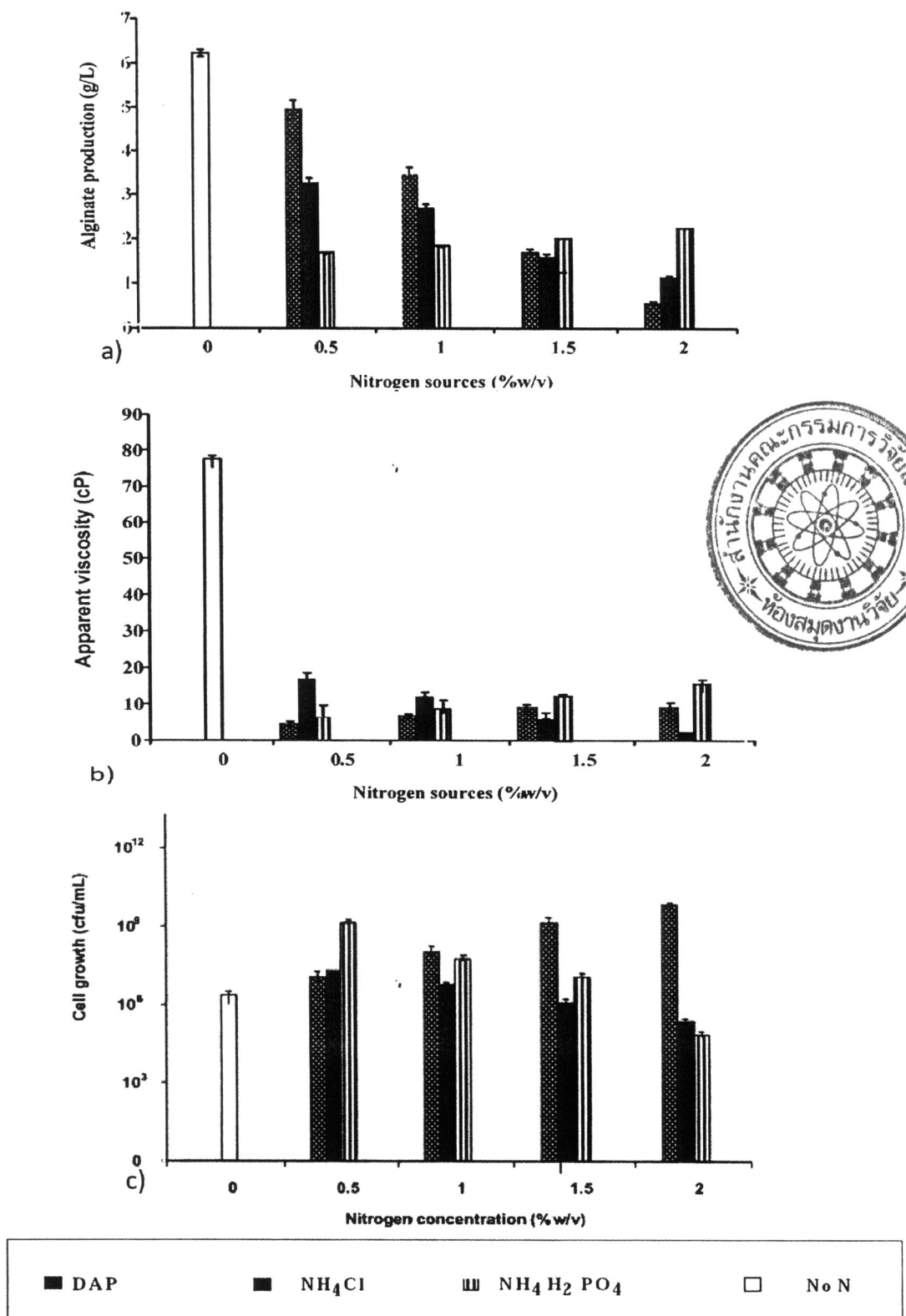


รูปที่ 3.4 ผลของการเลือยเชื้อ Azotobacter vinelandii ที่มีซูโครัสเป็นแหล่งอาหาร carbon ที่ความเข้มข้น 1% (w/v) ในการทดลอง พบว่า ค่า ความเป็นกรด-ด่าง ที่เหมาะสมสำหรับการเจริญและการผลิตอัลจิเนท อยู่ในช่วง 6.5-7.0 ดังแสดงในรูปที่ 3.4 จากรายงานของ Pace (1981) พบว่า ค่า ความเป็นกรด-ด่าง จะมีผลต่อการผลิตอัลจิเนทมากกว่าการเจริญของเชื้อ และค่า ความเป็นกรด-ด่าง จำพวกจะมีผลโดยตรงกับการทำงาน酵นไซน์ต่างๆ ที่เกี่ยวข้องกับกระบวนการสังเคราะห์อัลจิเนท (Lawson และ Sutherland, 1978)

### 3.1.4 แหล่งอาหารในโตรเจนและความเข้มข้น

ผลของแหล่งอาหารในโตรเจนที่เป็นสารอนินทรีย์ได้แก่ DAP,  $\text{NH}_4\text{H}_2\text{PO}_4$  และ  $\text{NH}_4\text{Cl}$  ที่ความเข้มข้นต่างๆ ถูกใช้ในการศึกษา ในรูปที่ 3.5 แสดงให้เห็นว่าการเติมแหล่งอาหารในโตรเจนไม่มีผลต่อการเพิ่มขึ้นของการผลิตอัลจิเนทและความหนืด จากผลการทดลองการผลิตอัลจิเนทจะลดลง เมื่อทำการเพิ่มความเข้มข้นของแหล่งอาหารในโตรเจน

การเติมแหล่งอาหารในโตรเจน อนินทรีย์มีผลต่อการเจริญของเชื้อ *Azotobacter vinelandii* โดยเมื่อทำการเติม DAP ความเข้มข้น 0.5-2% (w/v) ในอาหาร LG พบร่วมค่าการเจริญของเชื้อ *Azotobacter vinelandii* สูงสุดอยู่ที่  $2.15 \times 10^7$ ,  $2.31 \times 10^8$ ,  $5.3 \times 10^9$  และ  $9.6 \times 10^9$  cfu/mL ตามลำดับ และเมื่อทำการเติม  $\text{NH}_4\text{H}_2\text{PO}_4$  0.5% (w/v) ลงในอาหาร LG พบร่วมค่าการเจริญของเชื้อ *Azotobacter vinelandii* สูงสุดอยู่ที่  $8.15 \times 10^9$  cfu/mL ส่วนการเติม  $\text{NH}_4\text{Cl}$  ในอาหาร LG ที่ใช้การผลิตอัลจิเนทพบว่า การเติม  $\text{NH}_4\text{Cl}$  มีผลต่อการผลิตอัลจิเนทและความหนืด จากการค้นคว้ารายงานวิจัย มีรายงานถึงผลของ  $\text{NH}_4^+$  ว่าจะมีผลบั้นเบ็งการทำงานของเอนไซม์ในโตรจีนสไนเชื้อ *Azotobacter vinelandii* (Hardy และคณะ, 1968) โดยในโตรเจนมีผลต่อกระบวนการการการตีงในโตรเจนซึ่งจะส่งผลขัดขวางการผลิตอัลจิเนท จากรายงานของ Page และคณะ (1997) รายงานว่าเซลล์ที่มีการตีงในโตรเจนจะมีปริมาณของอัลจิเนทน้อยมากและการเติมแหล่งอาหารในโตรเจนที่เป็นสารอนินทรีย์ลงไปเซลล์จะเก็บไว้ใช้ในการตีงในโตรเจนและช่วยปักป้องการหายใจของเซลล์จากออกซิเจนซึ่งมีผลต่อโครงสร้างของเอนไซม์ในโตรจีนส และ Acetyl Co-A ที่ได้มาจากการ metabolism นำมาริเริ่มในการผลิตอัลจิเนทด้วย สอดคล้องกับรายงานของ Pal et al. (1998) ที่ทำการทดลองกับสายพันธุ์ *A. chroococcum*



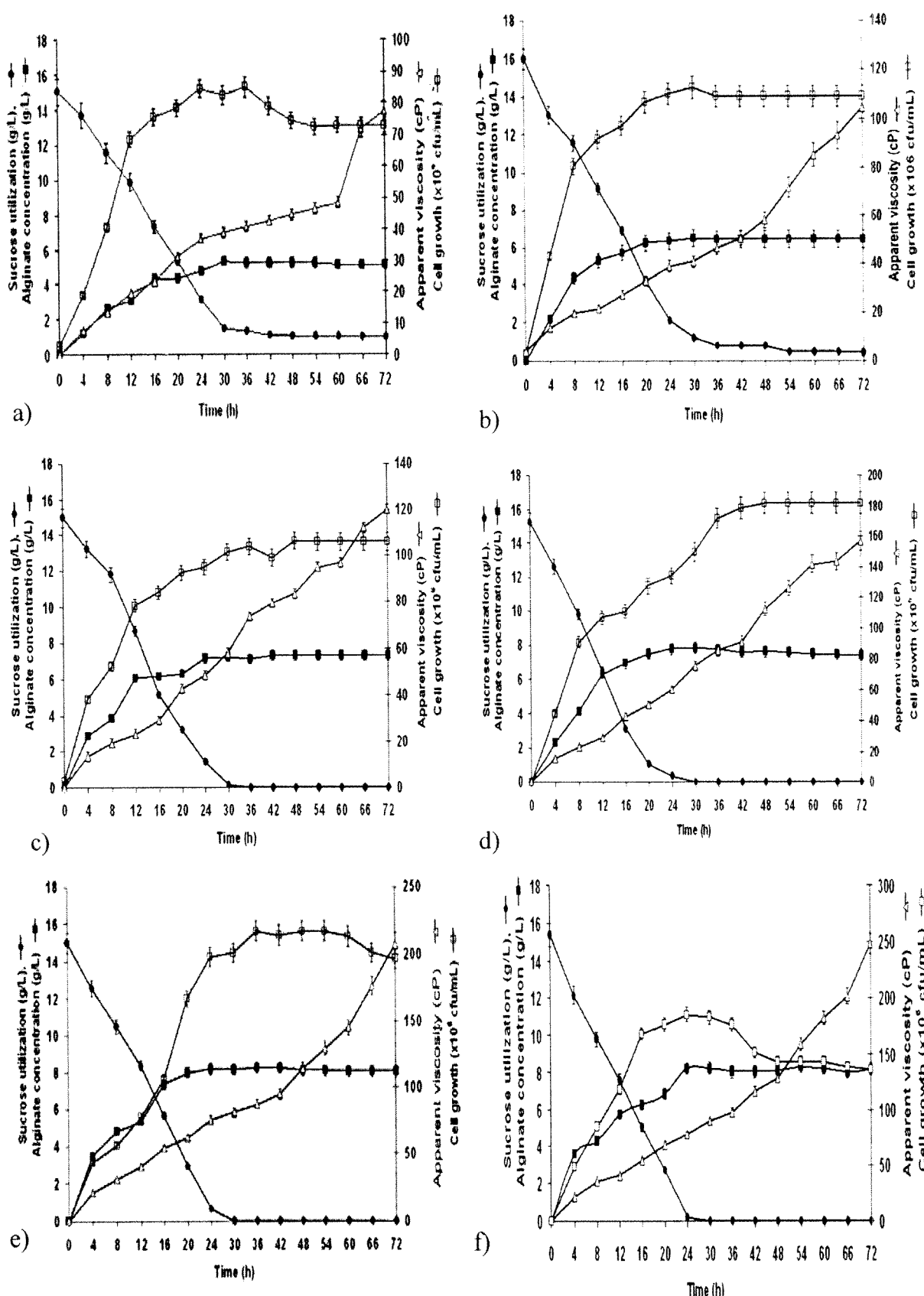
รูปที่ 3.5 ผลของแหล่งอาหารในโตรเจนชนิดต่างๆที่มีผลต่อการผลิตอัลจิเนท (alginate production) (a) ความหนืดปراกกฎ (apparent viscosity) (b) และการเจริญของเชื้อ *Azotobacter vinelandii* (cell growth) (c) ในอาหาร LG โดยใช้น้ำตาลซูโครสความเข้มข้น 1% (w/v) เป็นแหล่งคาร์บอน เติมหัวเชื้อที่ 1% ควบคุมค่า pH ที่ 6.8 อุณหภูมิ 30 °C เป็นเวลา 72 ชม. โดยทำการหมุนที่ 200 rpm

### 3.2 การศึกษาสภาวะที่เหมาะสมต่อการผลิตอัลจิเนทโดยการหมัก 1.5 ลิตร

ในการศึกษาสภาวะที่เหมาะสมต่อการผลิตอัลจิเนทโดยใช้ *Azotobacter vinelandii* จะทำการทดลองในถังหมักขนาด 2 ลิตร ในถังหมักจะใช้อาหาร LG ปริมาณต่อ 1.5 ลิตรซึ่งจะใช้น้ำตาลซูโครัส ความเข้มข้น 1 % (w/v) เป็นแหล่งการบอน ทำการหมักโดยควบคุมอุณหภูมิที่ 30 °C และปรับ pH รีบบ์ตันเท่ากับ 6.8

#### 3.2.1 ความเร็วในการกรุณ

ในการสังเคราะห์อัลจิเนทในอาหารเลี้ยงเชื้อจะทำที่สภาวะที่แตกต่างกัน ดังในรูปที่ 3.6 (a-f) แสดงการผลิตอัลจิเนท ความหนืด ปริมาณน้ำตาลที่เหลือ และการเจริญของเชื้อ *Azotobacter vinelandii* จากการหมักที่ความเร็วในการกรุณที่แตกต่างกัน (100-600 rpm) การสร้างรูปร่างของอัลจิเนทบางส่วนเกี่ยวข้องกับการเจริญเนื่องจากทั้งความเข้มข้นของอัลจิเนทและการเจริญของเชื้อที่เพิ่มสูงขึ้นเมื่อเพิ่มความเร็วในการกรุณให้สูงที่ 100-500 rpm (ตารางที่ 3.1) และจะเพิ่มขึ้นเล็กน้อยเมื่อเพิ่มความเร็วเป็น 500 rpm ภายใน 24 ชม. และเพิ่มขึ้นอีกเล็กน้อยหลังผ่าน 24 ชม. ในขณะที่พบว่าค่าความหนืดปรากฏเพิ่มขึ้นตลอดจนกระทั่งสิ้นสุดการหมัก ส่วนค่าจลผลศาสตร์ (Kinetic parameter) เช่น อัตราการเจริญจำเพาะ อัตราการเจริญสูงสุด อัตราการใช้น้ำตาลซูโครัส ผลผลิตอัลจิเนทสูงสุด และแรงเดินเนื่อง แสดงผลในตารางที่ 3.1 ดังนั้นที่ความเร็วในการกรุณ 500 rpm จะเป็นค่าความเร็วที่ถูกเลือกมาใช้ในการทดลองต่อไปนี้องจากประยุทธ์พลังงานและให้ค่าผลผลิตอัลจิเนทไม่แตกต่างกับการใช้ความเร็ว 600 rpm โดยการใช้ความเร็วในการกรุณที่มากเกินไปจะส่งผลให้การผลิตอัลจิเนಥดลดเนื่องจากจะไปทำลายเซลล์และมีข้อจำกัดเกี่ยวกับการเคลื่อนย้ายสารผ่านเนื้อเยื่อที่อัตราเดือนสูงจะส่งผลให้มีพื้นที่ผิวเซลล์เฉลี่ยน้อยลง ซึ่งให้ค่าต่ำสุดอยู่ที่  $8.9 \mu\text{m}^2$  ที่ความเร็ว 800 rpm เปรียบเทียบกับค่าสูงสุดที่  $33.8 \mu\text{m}^2$  ที่ความเร็ว 300 rpm (Sabra และคณะ, 1999) การที่พื้นที่ผิวเซลล์ต่อปริมาณเซลล์ลงลง Post และคณะ (1982) ได้รายงานไว้ว่าเป็นผลมาจากการบวนการป้องกันออกซิเจนของאוןไซน์ในโตรจิเนส โดยค่าความหนืดปรากฏของอัลจิเนทแสดงให้เห็นว่าอัลจิเนทที่ผลิตได้ให้ค่าพุติกรรมของไอลเป็นแบบนันนิวโทเนียน (non-Newtonian) เนื่องจากความหนืดเพิ่มขึ้นเมื่ออัตราเดือนเพิ่มขึ้น ดังแสดงในตารางที่ 3.1



รูปที่ 3.6 การเปลี่ยนแปลงของการใช้น้ำตาล ความเข้มข้นของอัลจิเนทที่ผลิตได้ ค่าความหนืดปะการูป ปริมาณน้ำตาลที่เหลือและการเจริญของเชื้อในถังหมักที่ใช้ความเร็วในการกวนที่แตกต่างกัน a) 100 rpm, b) 200 rpm, c) 300 rpm, d) 400 rpm, e) 500 rpm, และ f) 600 rpm โดยให้อากาศ 2.5 vvm เติมน้ำเชื้อ 10% ควบคุมค่า pH เริ่มต้นที่ 6.8 อุณหภูมิ 30 °C

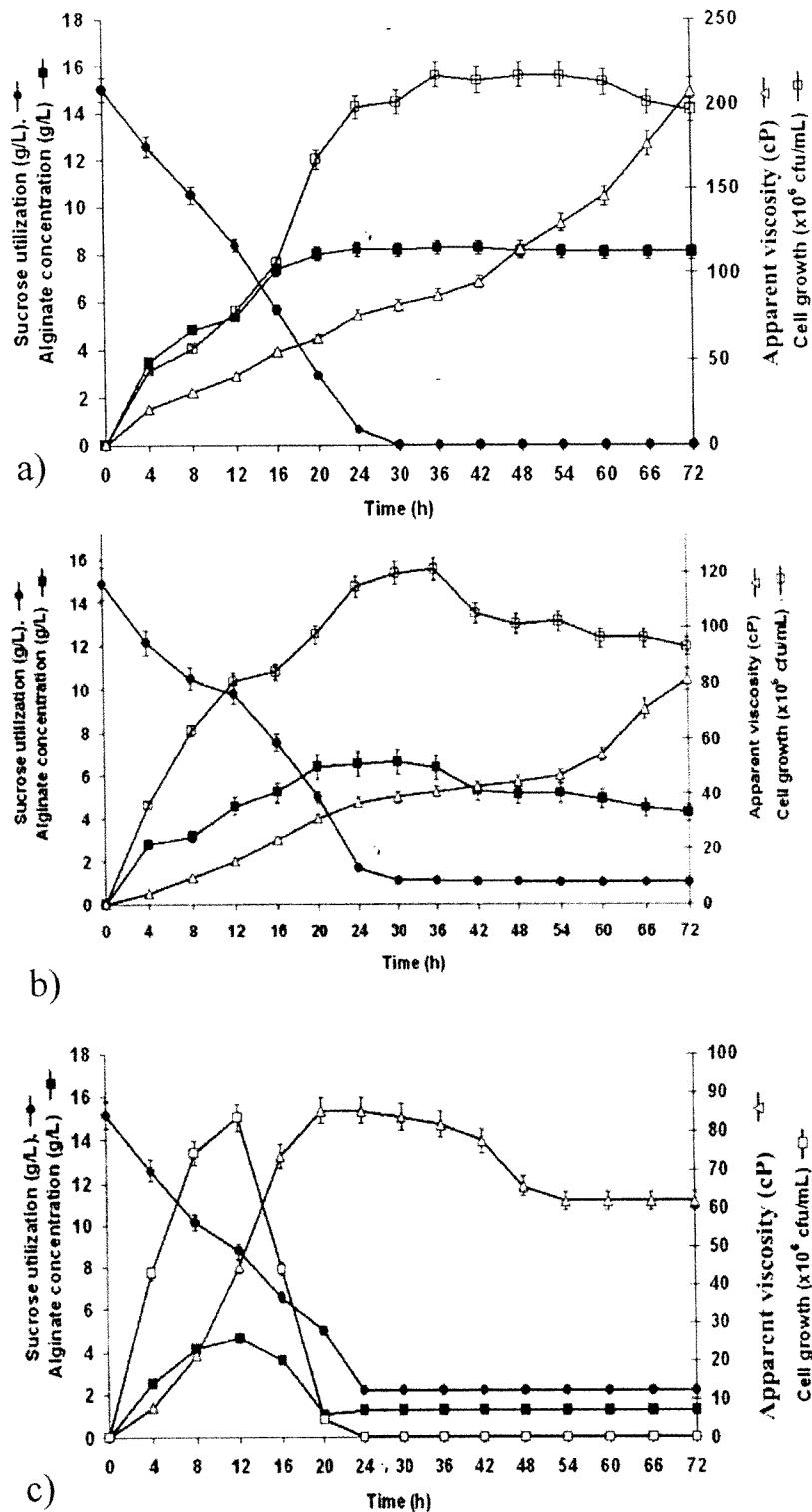
ตารางที่ 3.1 ค่าจลเพลศสารของอัตราการเจริญสูงสุด ผลผลิตอัลจินท์พลิตได้สูงสุด น้ำตาลที่ใช้ไป แตะแรงเห็นเนื้อนของ *Azotobacter vinelandii* ในถังหมักขนาด 2 ลิตร (ความเร็วในการกวน แตกต่างกัน) โดยให้อัตราการไหลดของอากาศ 2.5 vvm ในอาหาร LG pH 6.8 ที่อุณหภูมิ 30°C

ค่าจลเพลศสาร	ความเร็วในการกวน (rpm)					
	100	200	300	400	500	600
อัตราการเจริญสูงสุด , $\mu_{max}$ ( $h^{-1}$ )	0.205	0.242	0.257	0.278	0.295	0.301
ผลผลิตอัลจินท์สูงสุด, $Y_p/s$ ( $g_{alg}/g_{suc}$ )	0.398	0.432	0.457	0.489	0.503	0.510
ปริมาณน้ำตาลที่ใช้ไป (g/L/h)	0.361	0.428	0.470	0.533	0.582	0.602
แรงดันเนื้อน, $\tau$ ( $Pa \cdot s^{-1}$ )	1.29	3.48	6.01	10.47	16.59	24.81

### 3.2.2 การไหอากาศ

ปริมาณอากาศเปลี่ยนแปลงตั้งแต่ 0, 2.5 และ 5 ผลของความเข้มข้นอัลจินท์พลิตได้ การเจริญของเชื้อ ความหนืดปูรากู และปริมาณน้ำตาลซูโกรสที่เหลือในการหมักโดย *Azotobacter vinelandii* แสดงในรูปที่ 3.7 (a-c) ค่า Kinetic parameter เช่น อัตราการเจริญจำเพาะ อัตราการเจริญสูงสุด อัตราการใช้น้ำตาลซูโกรส ผลผลิตอัลจินท์สูงสุดและแรงเห็นเนื้อนแสดงในตารางที่ 3.2 จากผลการทดลองพบว่าการสร้างรูปร่างของอัลจินท์ทางส่วนเกี่ยวข้องกับการเจริญเนื่องจากห้งการผลิตอัลจินท์และการเจริญของเชื้อเพิ่มขึ้นที่เวลาเดียวกันภายในเวลา 24 ชม. และเพิ่มขึ้นเล็กน้อยจะกระทั้ง เสรีจสีนีกระบวนการหมัก ที่อัตราการไหอากาศ 2.5 vvm ให้ค่าการเจริญของเซลล์และการผลิตอัลจินท์สูง ในขณะที่เมื่อเพิ่มอัตราการไหอากาศเป็น 5 vvm ทุกค่าลดลงเนื่องจากมีการเติมสาร antiform ลงในอาหารเพื่อลดฟองอากาศที่เกิดขึ้นและที่ปริมาณออกซิเจนสูงการเจริญของเชื้อจะอยู่ๆลดลงซึ่ง ยืนยันถึงผลของออกซิเจนที่มีต่อการบัญชักกิจกรรมของเอนไซม์ในโตรจีนส ดังนั้นที่อัตราการไหลดของอากาศ 2.5 vvm จะถูกเลือกนำมาใช้ในการทดลองต่อไปเพื่อหลีกเลี่ยงการใช้สาร antiform ซึ่งจะ ส่งผลต่อผนังเซลล์ของแบคทีเรียและความหนืดของอัลจินท์ (รูปที่ 3.7c) ในการตึงในโตรเจนของเซลล์ขึ้นอยู่กับปริมาณออกซิเจน โดยออกซิเจนสูงจะส่งผลต่อโครงสร้างของเอนไซม์ในโตรจีนส (Linkerhagner และ Oelze, 1997) สำหรับการเอาชีวิตอดของ *Azotobacter vinelandii* ในสภาพที่มีอากาศหนึ่งในเมตอนอลิซึมเริ่มนั่นคือการปกป้องเอนไซม์ในโตรจีนจากการเข้าทำลายโดยออกซิเจน โดยการปกป้องเอนไซม์จากออกซิเจนที่เกิดใน *Azotobacter vinelandii* จะผ่านกลไกหลักๆ 2 อย่างคือ 1) ผ่านกิจกรรมการหายใจสูงที่จะเคลื่อนย้ายเอนไซม์ไปสู่ผิวเซลล์ 2) การขับนกลับของเอนไซม์สู่

สภาพที่ไม่ถูกกระตุ้น (Linkerhagener และ Oelze., 1995; Liu และคณะ, 1995) สำหรับใน *Azotobacter vinelandii* การเพิ่มขึ้นของความหนืดปราภูภัยในอาหารเลี้ยงเชื้อระหว่างการเลี้ยงเชื้อเกิดขึ้น เพราะชีวมวลและความเข้มข้นของอัลจินท์ที่เพิ่มขึ้นจะสามารถช่วยลดการเคลื่อนย้ายออกซิเจนจากสถานะแก๊สไปสถานะของเหลวและจากของเหลวไปยังผิวเซลล์ การหลีกเลี้ยงอัตราการเคลื่อนย้ายออกซิเจนที่สูงภายในเซลล์ สิ่งกีดขวางออกซิเจนบนผิวเซลล์ก็ยิ่งมีความสำคัญมาก (Sabra และคณะ, 1999)



รูปที่ 3.7 ผลของอัตราการให้อากาศต่อการใช้น้ำตาลซูโคเรส ความเข้มข้นของอัลจิเนท ความหนืด  
ปรากฎและการเจริญของเชลล์ *Azotobacter vinelandii* ในอาหาร LG ในถังหมักขนาด 2 ลิตร  
เติมหัวเชื้อ 10% ควบคุมค่า pH เริ่นต้นที่ 6.8 อุณหภูมิ 30 °C อัตราการให้อากาศแตกต่างกัน  
ตั้งแต่ 0-5 vvm; (a) 0 vvm, (b) 2.5 vvm, and (c) 5 vvm

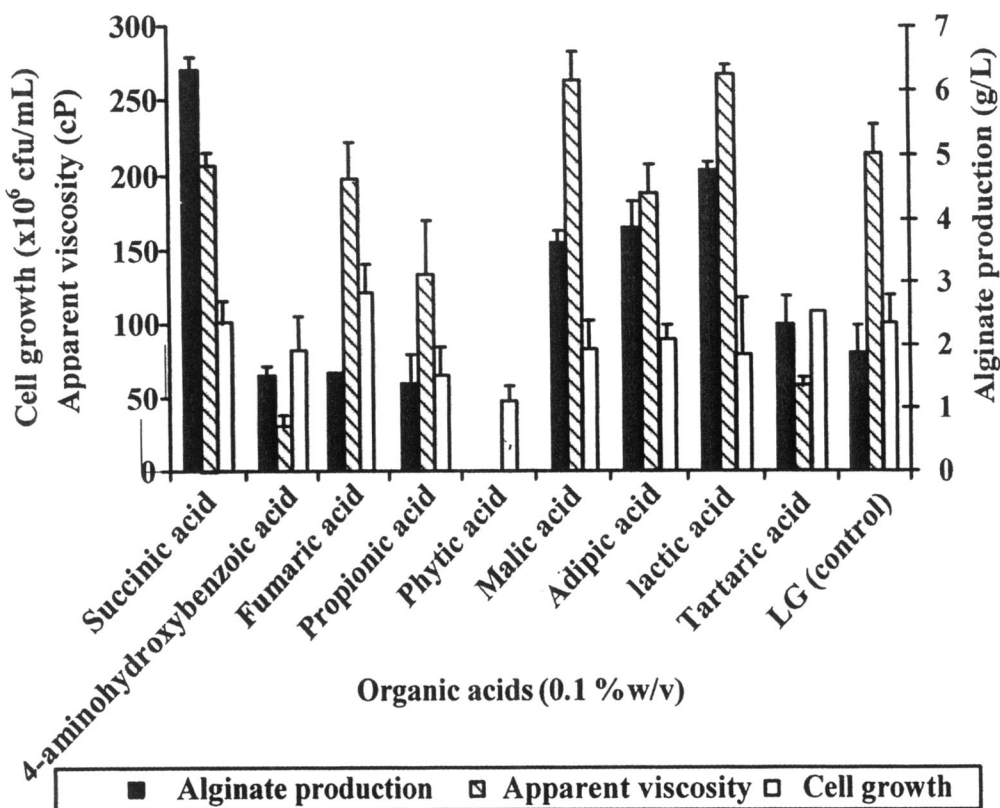
ตารางที่ 3.2 ค่าจลผลศาสตร์ของอัตราการเจริญสูงสุด ผลผลิตอัลจินท์เพลิตไไดสูงสุด และปริมาณน้ำตาลซูโครสที่ใช้ไปของ *Azotobacter vinelandii* ในถังหมักขนาด 2 ลิตร (การให้อากาศแตกต่างกัน) ที่ความเร็วในการวน 500 rpm ในอาหาร LG pH 6.8 ที่อุณหภูมิ 30°C

ค่าจลผลศาสตร์	อัตราการให้อากาศ (vvm)		
	0	2.5	5
อัตราการเจริญสูงสุด , $\mu_{\max}^{-1}$ (h <sup>-1</sup> )	0.228	0.295	0.108
ผลผลิตอัลจินท์สูงสุด, Y <sub>p/s</sub> (g <sub>alg</sub> /g <sub>suc</sub> )	0.375	0.503	0.215
ปริมาณน้ำตาลซูโครสที่ใช้ไป (g/L/h)	0.287	0.583	0.242

### 3.3 การเพิ่มคุณสมบัติบางประการของการผลิตอัลจิเนทด้วยกรดอินทรีย์

#### 3.3.1 แหล่งและความเข้มข้นของกรดอินทรีย์

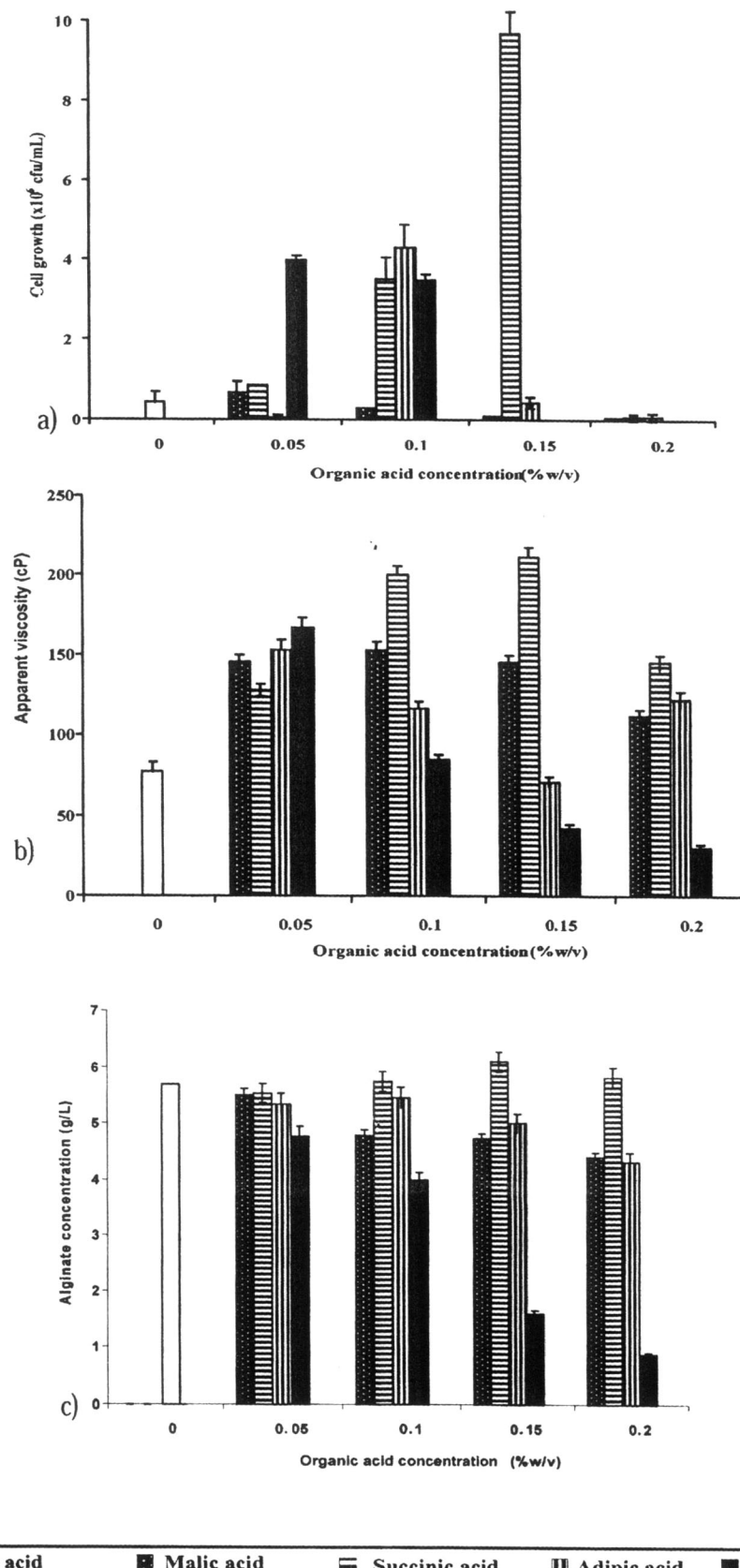
ผลของการทดลองในระดับเบื้องต้นสักแต่งในรูปที่ 3.8 แสดงผลของการผลิตอัลจิเนท ความหนืดปรากฏและการเจริญของเชื้อ โดยในการทดลองเพื่อเพิ่มประสิทธิภาพของอัลจิเนทโดยใช้ กรดซัคซินิก กรดฟูมาริก กรดโพธิโอนิก กรดไฟติก กรดมาลิก กรดอะดิปิก กรดโฟ-อะมิโนไซด์ กซีเบนโซิก กรดแลคติก และกรดทาร์ทาริก จากผลการทดลองพบว่าการใช้กรดอินทรีย์ 4 ชนิดคือ กรดซัคซินิก กรดมาลิก กรดแลคติกและกรดอะดิปิก จะมีค่าความหนืดปรากฏและความเข้มข้นของอัลจิเนทเพิ่มขึ้น ในขณะที่การใช้กรดไฟติกพบเพียงค่าการเจริญของเซลล์เท่านั้น



รูปที่ 3.8 ผลของการทดลองที่มีต่อการผลิตอัลจิเนท การเจริญของเซลล์แบบที่เร็วและความหนืดปรากฏของการผลิตอัลจิเนทในอาหาร LG โดยใช้น้ำตาลซูโคโรส 1% (w/v) เป็นแหล่งอาหาร คาร์บอน เติมหัวเชื้อ 1% ปรับค่า pH ที่ 6.8 อุณหภูมิ 30 °C เป็นเวลา 72 ชม. ใช้ความเร็วในการเขย่า 200 rpm

ความเข้มข้นของกรดอินทรีบีต์อะซิnic (กรดซัคชินิก กรดมาลิก กรดแลคติกและกรดอะซีิก) ทำการเปลี่ยนแปลงจาก 0-0.2 % (w/v) ขยายระยะเวลาความเข้มข้นทุกๆ 0.05 % (w/v) จากผลการทดลองพบว่าการใช้กรดซัคชินิกที่ความเข้มข้น 0.15% (w/v) จะให้ค่าการผลิตอัลจิเนท การเจริญของเชลล์สูงที่สุดและเพิ่มค่าความหนืดปราฏ เมื่อเปรียบเทียบกับอาหาร LG ที่ปราศจากการเติมกรดอินทรีบีต์ (รูปที่ 4.9) จากผลการทดลองอาจกล่าวได้ว่ากรดซัคชินิกถูกนำมาใช้เป็นแหล่งอาหารคาร์บอนในวัสดุจักษ์ TCA (tricarboxylic acid)

Vargas-Garcia และคณะ (2001) สรุปว่า EPS ที่ผลิตโดย *Azotobacter* sp. เมื่อเติมกรดโฟ-อะโนโนเบนโซอิก (4-aminohydroxybenzoic acid) เพื่อเป็นแหล่งอาหารคาร์บอนจะทำให้ค่าความหนืดสูงขึ้นในขณะที่ Chan (1986) ได้ทำการทดลองพบว่า *Azotobacter vinelandii* ให้ระดับการเจริญของเชื้อคีฟิลเม่เมื่อใช้สารประกอบฟินอลิกเป็นแหล่งอาหารคาร์บอน

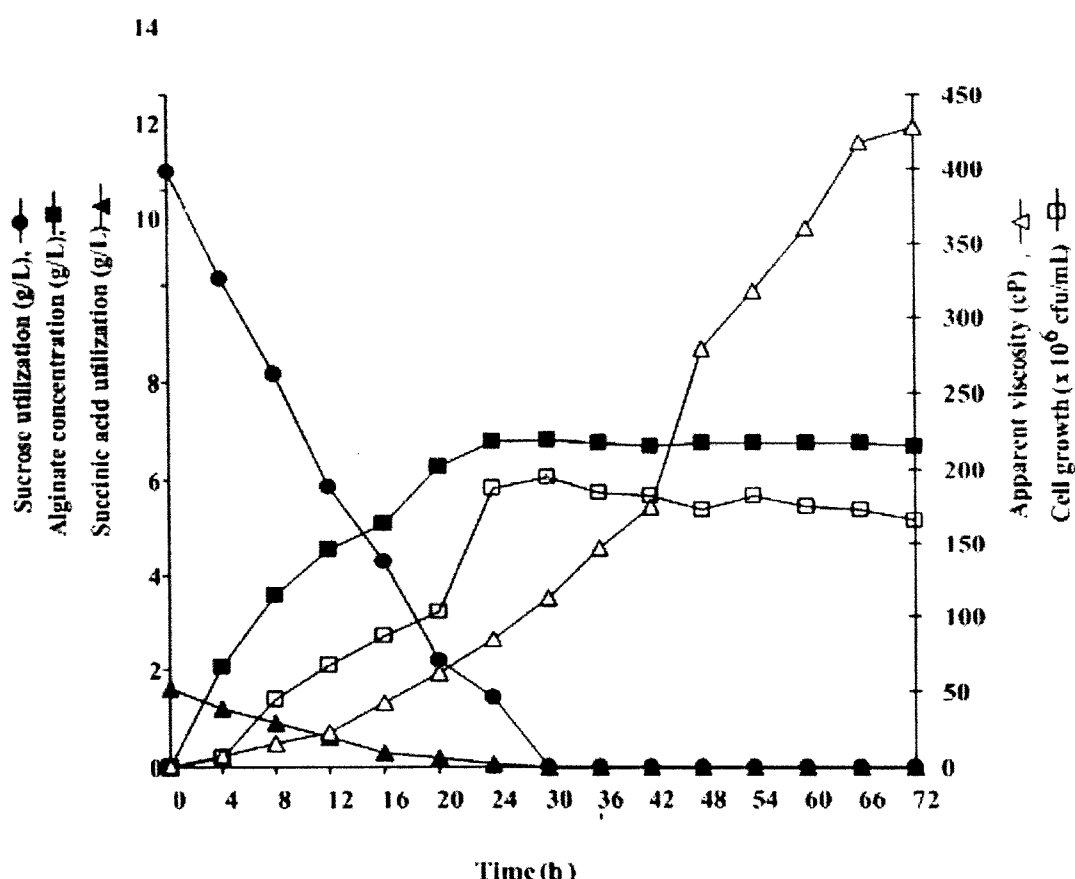


รูปที่ 3.9 ผลความเข้มข้นของกรดอินทรีย์ที่มีต่อ (a) การเจริญของเซลล์แบคทีเรีย (b) ความหนืดปราการ และ (c) การผลิตอลจินเจทในอาหาร LG โดยใช้น้ำตาลซูโคส 1% (w/v) เป็นแหล่งอาหาร คาร์บอน เติมหัวเชื้อ 1% ปรับค่า pH ที่ 6.8 อุณหภูมิ 30 °C เป็นเวลา 72 ชม.

### 3.3.2 การผลิตอัลจิเนทในถังหมักขนาด 2 ลิตรโดยใช้อาหาร LG ร่วมกับกรดอินทรีย์

ทำการหมักในถังหมักขนาด 2 ลิตรอีกครั้งเพื่อเพิ่มความหนืดปราศจากการผลิตอัลจิเนทโดยเชื้อ *Azotobacter vinelandii* ใช้ปริมาณอาหาร LG 1.5 ลิตร โดยใช้น้ำตาลซูโครสความเข้มข้น 1% (w/v) และกรดซัคชารินความเข้มข้น 0.15% เป็นแหล่งคาร์บอน ทำการหมักโดยควบคุมอุณหภูมิ 30 °C ปรับค่า pH ที่ 6.8

การใช้น้ำตาลซูโครส ปริมาณกรดซัคชินิกที่ใช้ไป การผลิตอัลจิเนท ค่าความหนืดปราศจากการเจริญของเซลล์แสดงผลในรูปที่ 3.10 ค่าการผลิตอัลจิเนทและการเจริญของเซลล์เพิ่มขึ้นภายในเวลา 24 ชม. และคงที่ไปจนกระทั่งเสร็จการหมัก ในขณะที่น้ำตาลซูโครสและกรดซัคชินิกถูกใช้หมดไปภายใน 24 ชม. การเติมกรดซัคชินิกความเข้มข้น 0.15% (w/v) ลงในอาหาร LG ช่วยเพิ่มค่าการผลิตอัลจิเนท การเจริญของเซลล์และค่าความหนืดปราศจากเมื่อเปรียบเทียบกับการไม่เติม จากผลการทดลองอาจยืนยันได้ว่ากรดซัคชินิกเป็นแหล่งคาร์บอนสำหรับการผลิตอัลจิเนทด้วย *Azotobacter vinelandii* ค่าจลเพลศสาร์แสดงในตารางที่ 3.3



รูปที่ 3.10 การเปลี่ยนแปลงของการใช้น้ำตาล ความเข้มข้นของอัลจิเนท ความหนืดปราศจากการ LG ที่ประกอบไปด้วยน้ำตาลซูโครสและกรดซัคชินิกความเข้มข้น 0.15% (w/v) เป็นแหล่งอาหารคาร์บอนที่อัตราการให้อากาศ 5 vvm เติมหัวเชื้อ 10 % ค่า pH ที่ 6.8 อุณหภูมิ 30 °C

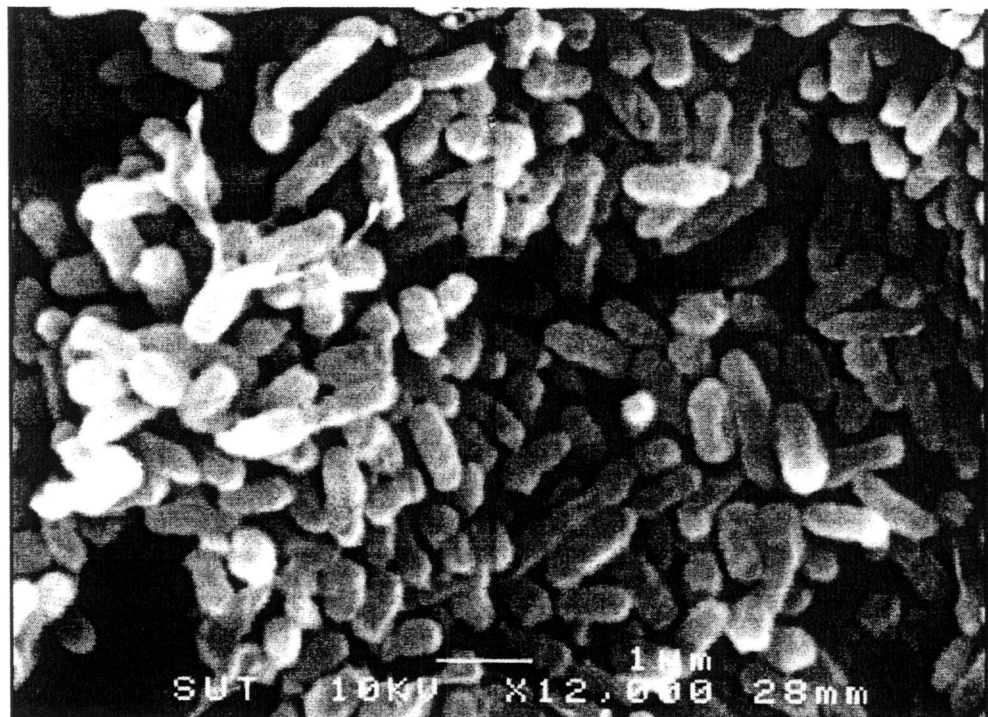
ตารางที่ 3.3 ค่าผลพิสดารของอัตราการเจริญสูงสุด ผลผลิตอัลจิเนทที่ผลิต ได้สูงสุด ปริมาณน้ำตาลซูโคโรสที่ใช้ไปและความหนืดปูนกระดูกของ *Azotobacter vinelandii* ในถังหมักขนาด 2 ลิตรในอาหาร LG ประกอบไปด้วยกรดซัคcharินิกความเข้มข้น 0.15% (w/v) ที่ความเร็วในการกวน 500 rpm การให้อากาศ 2.5 vvm pH 6.8 ที่อุณหภูมิ 30°C

Kinetic Parameter	การเติบโตของซัคcharินิกความเข้มข้น 0.15% (w/v)
อัตราการเจริญสูงสุด , $\mu_{\max}$ ( $\text{h}^{-1}$ )	0.297
ผลผลิตอัลจิเนทสูงสุด, Yp/s ( $\text{g}_{\text{alg}}/\text{g}_{\text{suc}}$ )	0.505
ปริมาณน้ำตาลซูโคโรสที่ใช้ไป ( $\text{g}/\text{L}/\text{h}$ )	0.566
ปริมาณกรดซัคcharินิกที่ใช้ไป ( $\text{g}/\text{L}/\text{h}$ )	0.327
ความหนืดปูนกระดูก (cP)	428.28

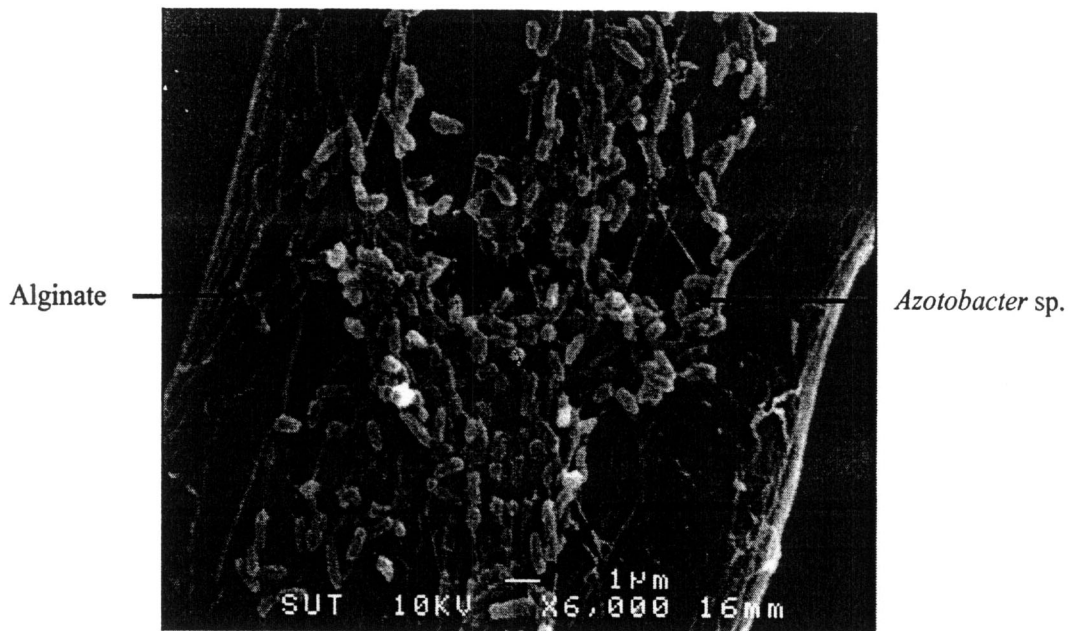
### 3.3.3 ลักษณะของอัลจิเนทที่ผลิตได้จาก *Azotobacter vinelandii*

#### 3.3.3.1 ลักษณะโครงสร้างภายในได้กล้องจุลทรรศน์อิเล็กตรอน (SEM)

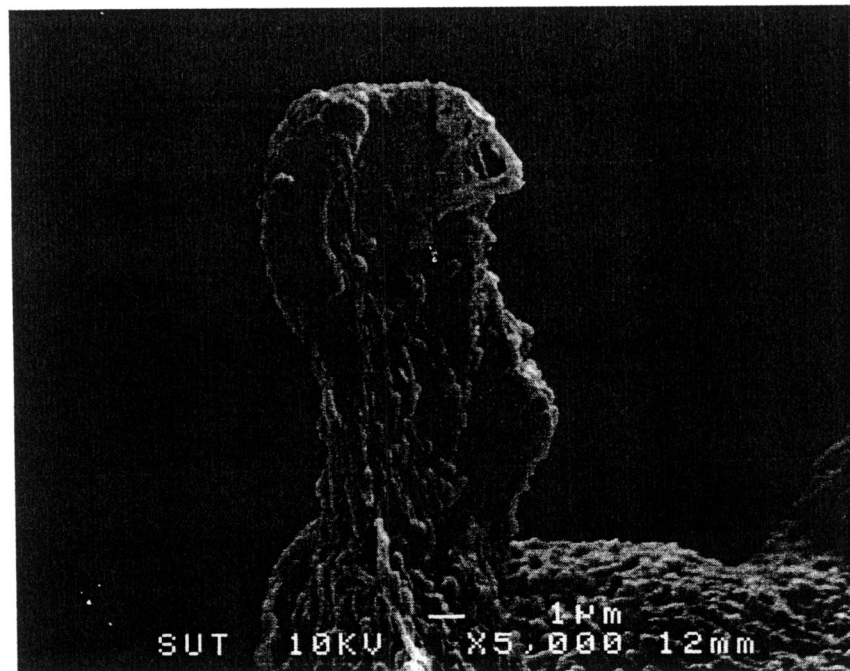
ทำการศึกษาโครงสร้างเซลล์ของ *Azotobacter vinelandii* ภายในได้กล้องจุลทรรศน์อิเล็กตรอน โดยโครงสร้างเซลล์ของ *Azotobacter vinelandii* มีรูปร่างเป็นแท่ง ขนาดประมาณ 1  $\mu\text{m}$  (รูปที่ 3.11) และมีการสร้างอัลจิเนท (รูปที่ 3.12-3.13) การผลิตของอัลจิเนทหรือของเหลวเหนียวๆที่ฝังรวมตัวกัน เป็นโคลนินาคาดีก รูปที่ 3.14 แสดงอัลจิเนทแห้งที่ผลิตได้จาก *Azotobacter vinelandii* และอัลจิเนท (ทางการท้า) มีโครงสร้างเชื่อมโยง (cross-link) เมื่อนกันแต่จำนวนของสายเชื่อมโยงของอัลจิเนทที่ ผลิตคู่กับ *Azotobacter vinelandii* น้อยกว่าอัลจิเนทที่ผลิตได้จากสาหร่าย อย่างไรก็ตามอัลจิเนทจากสาหร่ายเป็นพอลิเมอร์ที่มีความคงตัวและมีโครงสร้างที่ต่ำมากกว่าอัลจิเนทที่ผลิตจาก *Azotobacter vinelandii*



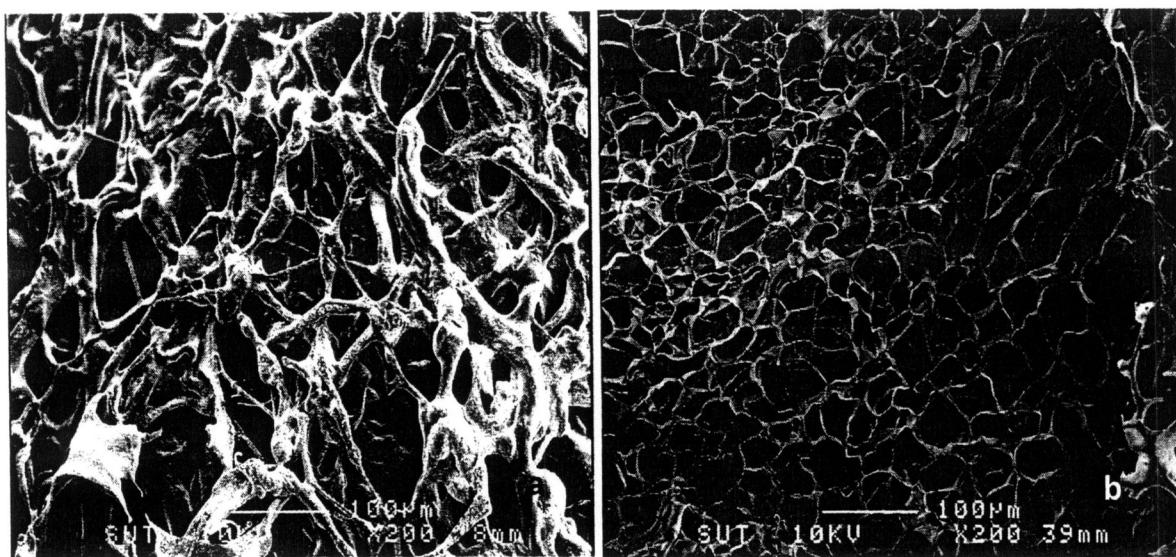
รูปที่ 3.11 ลักษณะโครงสร้างของ *Azotobacter vinelandii* ภายใต้กล้องจุลทรรศน์อิเล็กตรอน (SEM)  
ที่กำลังขยาย 12,000 เท่า



รูปที่ 3.12 ลักษณะโครงสร้างของ *Azotobacter vinelandii* และอัลจิเนทในอาหาร LG ที่ประกอบไป  
ด้วยกรดซัคcharนิกความเข้มข้น 0.15% (w/v) ที่อุณหภูมิ 30°ซี เป็นเวลา 3 วัน (Scale bars =  
1μm)



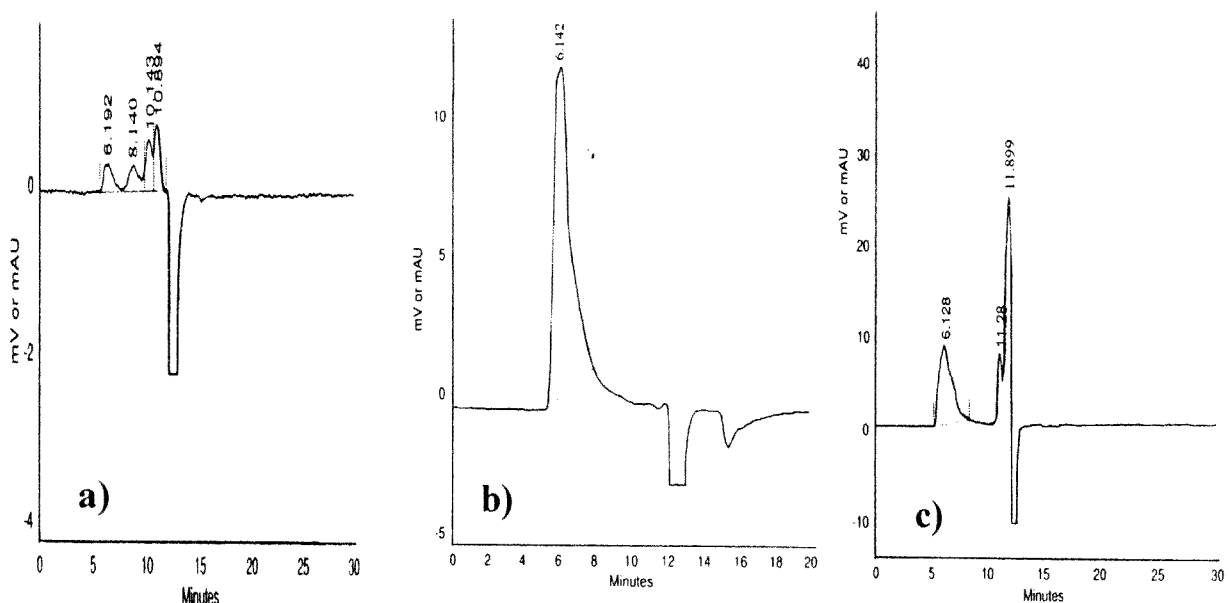
รูปที่ 3.13 ภาพจากกล้องจุลทรรศน์อิเล็กตรอนของเชื้อ *Azotobacter vinelandii* ที่มีการสร้างอัลจินेटในอาหาร LG ประกอบไปด้วยกรดซัคcharic acid ความเข้มข้น 0.15% (w/v) ที่อุณหภูมิ 30°C เป็นเวลา 3 วัน



รูปที่ 3.14 ลักษณะทางโครงสร้างของอัลจินेथภายในได้ถูกดึง SEM a) อัลจินेथแห้งที่ได้จาก *Azotobacter vinelandii* โดยใช้อาหาร LG ประกอบไปด้วยกรดซัคcharic acid ความเข้มข้น 0.15% (w/v) b) อัลจินेथจากสาหร่าย

### 3.3.3.2 น้ำหนักโมเลกุลของอัลจิเนท

ทำการหาน้ำหนักโมเลกุลของอัลจิเนทจากแบบที่เรียและอัลจิเนทจากสารร้ายเปรี้ยบเทียบกัน โดยใช้ pullulan kit เป็นมาตรฐาน โดยใช้เทคนิค HPLC ยอดกราฟของน้ำหนักโมเลกุลแต่ละตัวคือ  $9 \times 10^3$ ,  $2.04 \times 10^3$ ,  $6.75 \times 10^3$  และ  $0.77 \times 10^3$  กิโลดาตตัน (kDa) ที่เวลา 6.19, 8.14, 10.143 และ 10.894 นาที ตามลำดับ (รูปที่ 3.15a) ยอดกราฟของอัลจิเนทจาก *Azotobacter vinelandii* พบรที่เวลา 6.13, 11.29 และ 11.9 นาที (รูปที่ 3.15b) ในขณะที่อัลจิเนทจากสารร้ายพบยอดกราฟเพียงยอดเดียวคือที่เวลา 6.14 นาที (รูปที่ 3.15c) จากผลการทดลอง น้ำหนักโมเลกุลของอัลจิเนทจาก *Azotobacter vinelandii* คล้ายคลึงกับอัลจิเนทจากสารร้าย เพราะเกิดยอดกราฟที่เวลาเดียวกัน (6.13 และ 6.14 นาที) และที่เวลา 11.29 และ 11.9 นาทีซึ่งที่เวลาไม่เท่ากันอาจเป็นเพราะสารประกอบที่ได้จากการบวนการทำให้บริสุทธิ์ไม่บริสุทธิ์ มวลโมเลกุลของอัลจิเนทจาก *Azotobacter vinelandii* และอัลจิเนทจากสารร้ายคือ  $2.87 \times 10^3$  และ  $2.88 \times 10^3$  ดาตตัน (Da) ตามลำดับ

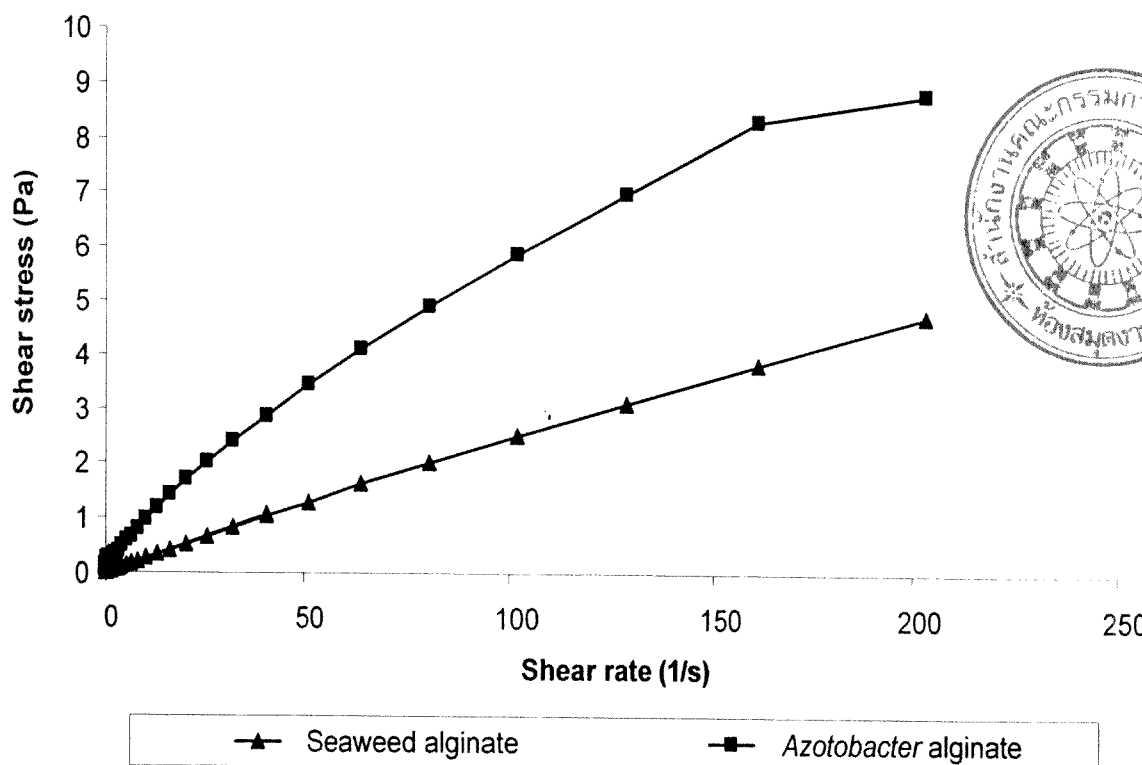


รูปที่ 3.15 กราฟ chromatograms ของน้ำหนักโมเลกุลของ a) pullulan ที่ใช้เป็นมาตรฐาน

b) อัลจิเนทจาก *Azotobacter vinelandii* และ c) อัลจิเนทจากสารร้าย

### 3.3.3.3 พฤติกรรมของไอลของอัลจิเนท

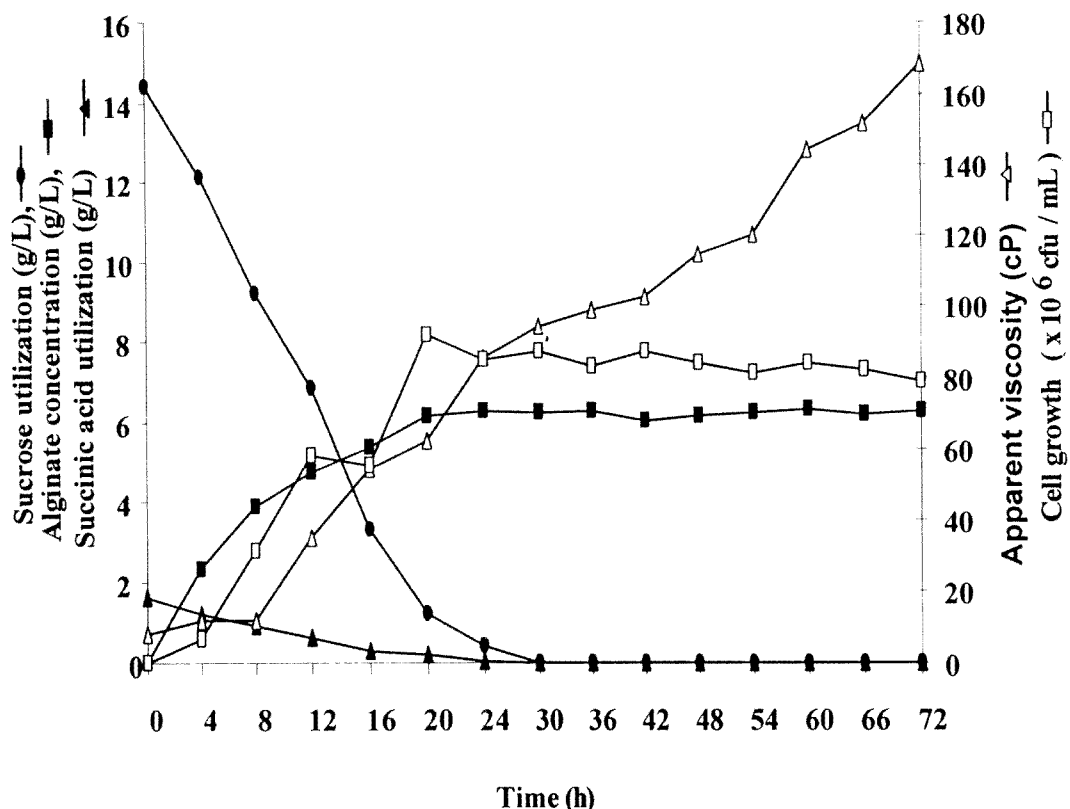
พฤติกรรมของไอลของอัลจิเนทจากสาหร่ายและอัลจิเนทจาก *Azotobacter vinelandii* ทำการทดลองโดยใช้เครื่องวัดแรงเฉือน (rheometer) ซึ่งใช้ din conical concentric cylinder เป็นตัวหมุนที่ อุณหภูมิ 25 °C และอัตราแรงเฉือน 0-300 1/s รูปที่ 3.16 แสดงพฤติกรรมของไอลของอัลจิเนทจาก สาหร่ายและอัลจิเนทจาก *Azotobacter vinelandii* พบว่าทั้งสองตัวแสดงพฤติกรรมเป็น pseudoplastic เนื่องจากมีค่าความหนืดปรากฏลดลงเมื่ออัตราเฉือนเพิ่มขึ้น ค่าความหนืดของของไอลพอกนี้จะขึ้นอยู่ กับ Shear stress กับ Shear rate แต่จะไม่ขึ้นอยู่กับระยะเวลาที่ของไอลได้รับความเห็นเฉือน (Shear stress) แต่ถ้าขึ้นอยู่กับความสัมพันธ์ระหว่าง Shear stress และ Shear rate จะมีค่าคงที่ไม่ขึ้นอยู่กับ เวลา



รูปที่ 3.16 ค่าความหนืดปรากฏของสาหร่ายจากอัลจิเนทและอัลจิเนทจาก *Azotobacter vinelandii* ที่ อัตราเฉือนแตกต่างกัน

### 3.4 การผลิตอัลจิเนทในถังหมักขนาด 5 ลิตร

สภาพะที่เหมาะสมของการผลิตอัลจิเนทที่ได้จากการทดลองในระดับพลาสติกและการหมักในถังหมักขนาด 2 ลิตร เช่น ความเข้มข้นของแหล่งคาร์บอน อุณหภูมิ ค่าความเป็นกรด-ด่างเริ่มต้น ความเร็วในการกวนและความเข้มข้นของกรดอินทรีย์ถูกนำมาใช้ในการขยายระดับการผลิตอัลจิเนท ผลของค่าความเข้มข้นของน้ำตาลชูโกรส ปริมาณการใช้กรดซัคซินิก ความเข้มข้นของอัลจิเนท ความหนืดป্রากฏ และการเจริญของเชื้อแสดงในรูปที่ 3.17 จากผลการทดลองพบว่า น้ำตาลชูโกรสและกรดซัคซินิกถูกใช้หมดไปภายใน 24 ชม. การเจริญของเชื้อและการผลิตอัลจิเนทเพิ่มขึ้นภายใน 24 ชม. รวมถึงค่าความหนืดป্রากฏด้วย ค่าจลเพลศสาร์ในถังหมักขนาด 2 ลิตรและ 5 ลิตรแสดงในตารางที่ 3.4 อัตราการเจริญของ *Azotobacter vinelandii* และการผลิตอัลจิเนทในถังหมักขนาด 5 ลิตรมีค่าต่ำกว่าในถังหมักขนาด 2 ลิตร ซึ่งอาจเป็นผลมาจากการปัจจัย เช่น การผสม การให้อากาศ การออกแบบ ตัวหมุน เป็นต้น เนื่องจากมีการเปลี่ยนแปลงขนาดของถังหมัก



รูปที่ 3.17 การเปลี่ยนแปลงของการใช้น้ำตาลชูโกรส การผลิตอัลจิเนท การใช้กรดซัคซินิกความหนืดป្រาก្ស และการเจริญของเชื้อ *Azotobacter vinelandii* ในถังหมักขนาด 5 ลิตร โดยใช้ปริมาตรอาหาร LG 3 ลิตรด้วยน้ำตาลชูโกรสและกรดซัคซินิก

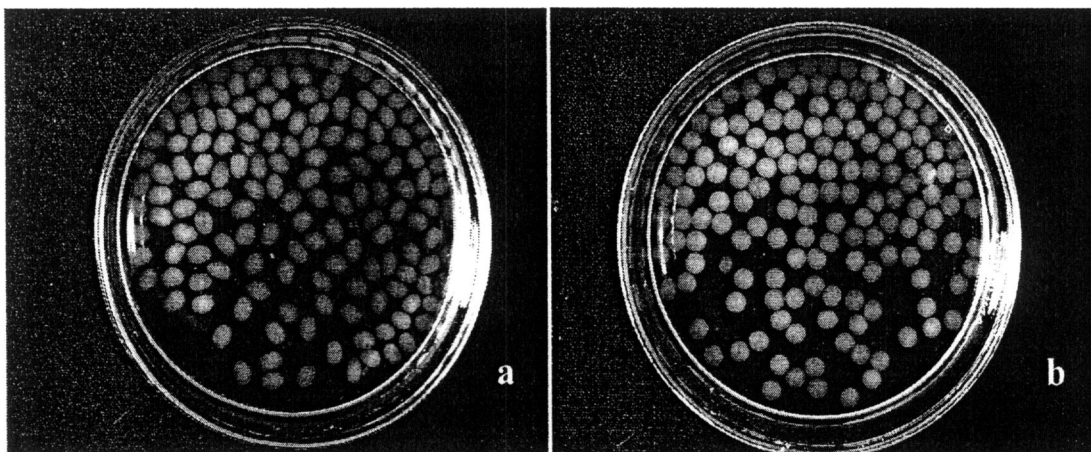
ตารางที่ 3.4 ค่าของพอกฟากซ์ของอัตราการเริ่มต้นการเติบโต ผลผลิตต่อตัวต่อหน่วยสูงสุด การใช้น้ำตาลโซโลโกรส์ ในการใช้กรดซัคcharin และต่ำกว่าในกรณี Azotobacter vinelandii ในถังหมักขนาด 2 อิตรซึ่งไม่ได้เติมกรดซัคcharin ความเข้มข้น 0.15% (w/v) และถังหมักขนาด 5 อิตรซึ่งเติมกรดซัคcharin ความเข้มข้น 0.15% (w/v) ที่ความร้อนในการกวน 500 rpm อัตราการให้อาหาร 2.5 vvm ในอุณหภูมิ pH 6.8 ที่อุณหภูมิ 30°C

ค่าของพอกฟากซ์	2 อิตร	2 อิตร ไม่เติมกรดซัคcharin 0.15% (w/v)	2 อิตร เติมกรดซัคcharin 0.15% (w/v)	5 อิตร เติมน้ำกรดซัคcharin 0.15% (w/v)
อัตราการเจริญเติบโต $\mu_{max}$ ( $h^{-1}$ )	0.295	0.297	0.221	
ผลผลิตต่อตัวต่อหน่วยสูงสุด $Y_p/s$ ( $g_{alg}/g_{suc}$ )	0.503	0.505	0.397	
การใช้น้ำตาลโซโลโกรส์ ( $g/L/h$ )	0.582	0.566	0.514	
การใช้กรดซัคcharin ( $g/L/h$ )	-	-	0.327	0.370
ความหนืดปูนภาคภูมิ (cP)	207.52	428.28	428.28	168.78
เวลาที่ใช้ในการหมัก (h)	72	72	72	72

### 3.5 การตรึงเอนไซม์

#### 3.5.1 การสร้างตัวเป็นเม็ด bead

อัลจิเนทที่ผลิตโดย *Azotobacter vinelandii* ถูกนำมาใช้ในการตรึงเอนไซม์เบรย์บเทียบกับอัลจิเนทที่ได้มาจากการบริษัท Sigma-Aldrich (Germany) พบว่าที่อัลจิเนทความเข้มข้น 2.5% (w/v) สามารถสร้างตัวเป็นเม็ด bead ได้ในสารละลายน้ำ  $\text{CaCl}_2$  ในขณะที่อัลจิเนทจากสาหร่ายจะใช้ที่ความเข้มข้น 2% (w/v) เนื่องจากความบริสุทธิ์และน้ำหนักโมเลกุลที่แตกต่างกัน (รูปที่ 3.18)

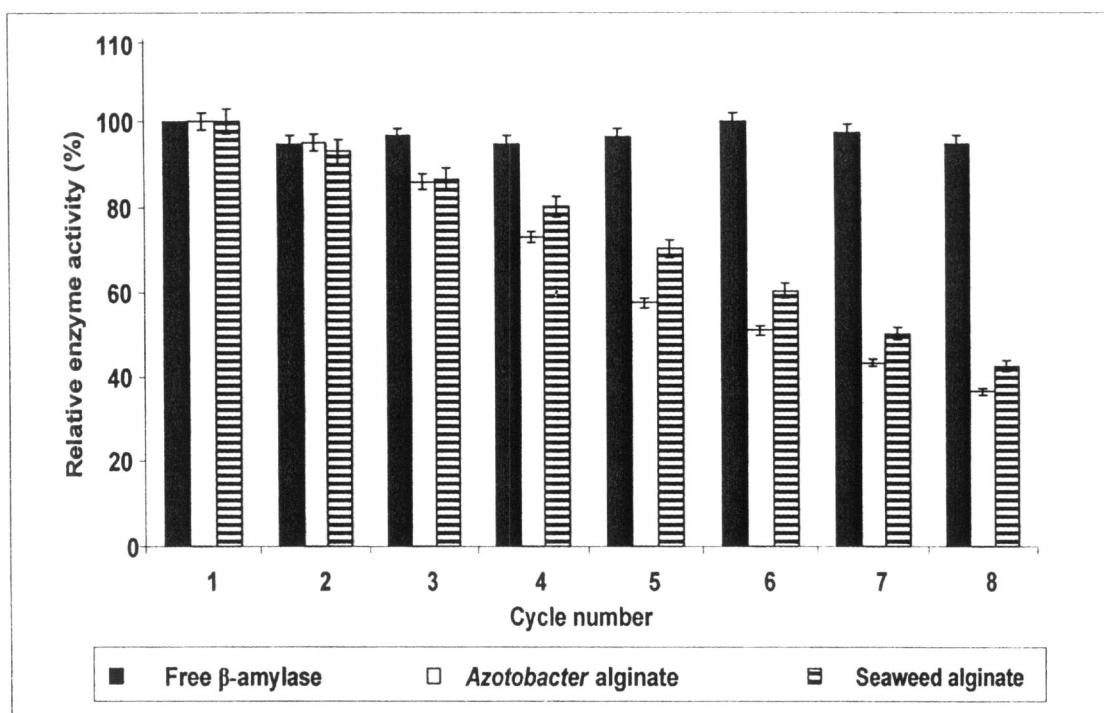


รูปที่ 3.18 เอนไซม์ที่ถูกตรึงในเม็ด bead หลังจากหยดลงในสารละลายน้ำ  $\text{CaCl}_2$  ความเข้มข้น 2% a) อัลจิเนทความเข้มข้น 2.5% (w/v) ที่ผลิตโดย *Azotobacter vinelandii* หลังเดินกรดซักซินิกความเข้มข้น 0.15% (w/v) b) อัลจิเนทจากสาหร่ายความเข้มข้น 2% (w/v)

#### 3.5.2 กิจกรรมของเอนไซม์บีต้าอะไมแลสต์

ทั้งอัลจิเนทจาก *Azotobacter vinelandii* และจากสาหร่ายที่เคลือบเอนไซม์บีต้าอะไมแลสที่ถูกตรึงแล้วจะถูกเก็บไว้ใน 0.02 M acetate buffer (pH 4.8) ที่อุณหภูมิ 4 °C เป็นเวลา 7 วัน ก่อนนำมาใช้ในการศึกษาความเสถียรของเม็ด bead ที่ใช้ตรึงเอนไซม์บีต้าอะไมแลส ในรูปที่ 3.19 แสดงค่าเปอร์เซ็นต์ความสัมพันธ์ของกิจกรรมของเอนไซม์เป็นหน่วยที่ของจำนวนเอนไซม์อิสระที่นำกลับมาใช้ใหม่ ทั้งในอัลจิเนทจาก *Azotobacter vinelandii* และจากสาหร่ายที่เคลือบเอนไซม์บีต้าอะไมแลสที่ถูกตรึงแล้วพบว่าประสิทธิภาพในการย่อยสารละลายน้ำแข็งลดลง เช่นเดียวกับจำนวนของการวิเคราะห์ ในเวลา 8 ครั้งของการทดสอบ ซึ่กิจกรรมของเอนไซม์อิสระไม่เปลี่ยนแปลงในขณะที่กิจกรรมของเอนไซม์ที่ถูกตรึงมีค่าลดลงมากกว่า 50% จากการทดสอบในครั้งแรก แนวโน้มของกิจกรรมของเอนไซม์บีต้าอะไมแลสที่ถูกตรึงในเม็ด bead ระหว่างอัลจิเนทจาก *Azotobacter vinelandii* และจากสาหร่ายจะลดลงทั้งคู่และมีค่าแตกต่างกันอยู่เล็กน้อยประมาณ 5-6% ที่ครั้งที่ 8 อย่างไรก็ตามจากการทดลองพบว่าการนำเอนไซม์ที่ถูกตรึงแล้วกลับมาใช้ใหม่ได้จนถึง 8 ครั้งนี้ออกจากเอนไซม์หายออกไปจากอัลจิเนท การร่วม

ในเม็ด bead สามารถเกิดขึ้นได้ซึ่งเป็นผลมาจากการความเข้มข้นอัลจิเนทเริ่มต้น กลไกการสร้างเม็ด bead และการเขย่าในกระบวนการสร้างเม็ด bead (Smidsrod และ Skjak-Braek, 1990) อย่างไรก็ตามความเสถียรของเอนไซม์ที่ถูกตรึงน้อยกว่าเอนไซม์อิสระแต่เอนไซม์ที่ถูกตรึงมีข้อดีมากกว่าเอนไซม์อิสระ เช่น ง่ายต่อการควบคุม สะดวกในการแยกเอนไซม์ ช่วยป้องกันการชะล้างออก ลดความเสี่ยงในการปนเปื้อน(Konsoula และ Kyriakides, 2006; Laca และคณะ., 1998)



รูปที่ 3.19 ความสัมพันธ์ของกิจกรรมเอนไซม์ของการนำเอนไซม์ที่ถูกตรึงด้วยอัลจิเนทจาก *Azotobacter* sp. และอัลจิเนทจากสาหร่ายกลับมาใช้ใหม่ใน 8 รอบเบรเยนเทียนกับเอนไซม์อิสระ